

# ПРИМЕНЕНИЕ МЕТОДА РАЗДЕЛЕНИЯ ВРЕМЕНИ ПО ПРОЦЕССАМ В ЗАДАЧАХ НЕРАВНОВЕСНОЙ ФИЛЬТРАЦИИ

Предлагается использовать метод разделения времени по процессам для получения приближенных решений разнообразных задач неравновесной фильтрации, так как точные решения таких задач получены лишь в некоторых простейших случаях. Применение метода проиллюстрировано на двух примерах, имеющих точные решения. Полученные приближенные решения практически совпали с точными решениями.

1. Метод разделения времени по процессам широко используется в различных разделах прикладного естествознания. Суть метода состоит в следующем. Пусть надлежит исследовать поведение во времени некоторого процесса, состоящего из двух нестационарных подпроцессов. Один из них протекает во времени существенно быстрее нежели другой, что является предпосылкой для введения двух времен: короткого и длинного, причем короткое время относится к быстрому подпроцессу, а длинное – к медленному. Далее, оба подпроцесса изучаются автономно (независимо друг от друга), а затем в окончательном результате возвращаются к единому времени.

Аналогичная ситуация имеет место при снятии кривой восстановления давления на скважине, когда нестационарная фильтрация в ее окрестности осуществляется в неравновесных условиях, связанных с запаздыванием во времени: либо скорости фильтрации от изменения градиента давления, либо количества жидкости в элементарном объеме от изменения давления в нем. Как показывают промысловые исследования (Молокович и др., 1980), в обоих случаях процесс запаздывания (релаксации) полностью завершается за 1–2 часа, а снятие кривой восстановления давления продолжается в течение суток и более. Тогда, согласно методу разделения времени по процессам, можно ввести короткое время, отвечающее за релаксационный процесс, и длинное время, соответствующее нестационарному процессу в целом.

Нахождение точных аналитических решений задач неравновесной фильтрации сопряжено с большими математическими трудностями; таких решений на настоящее время получено единицы. Поэтому использование метода разделения времени по процессам может в некоторой степени компенсировать отсутствие точных решений разнообразных задач нестационарной фильтрации, протекающих в неравновесных условиях и имеющих прикладное значение. Ниже на двух примерах, имеющих точное решение (Молокович, Осипов, 1987), проиллюстрируем применение метода разделения времени по процессам и покажем весьма удовлетворительную точность таких решений (Молокович, Шкуро, 1999), что может служить обоснованием применения этого метода.

2. Рассмотрим сначала нестационарное течение однородной капельно-сжимаемой жидкости в полубесконечном ( $0 < x < \infty$ ) однородном упругом пласте. Предполагается пласт первоначально невозмущенным:

$$p(x, 0) = p_0; \quad (1)$$

в начальный момент времени на левом конце пласта начинает работать галерея с постоянным забойным давлением, на бесконечности он остается невозмущенным:

$$p(0, t) = p_{r0}, \quad p(\infty, t) = p_0; \quad (2)$$

фильтрация в пласте осуществляется по простейшему неравновесному закону и описывается системой уравнений:

$$w = -\frac{k\tau_p}{\mu\tau_w} \frac{\partial p}{\partial x} - \frac{k}{\mu} \left(1 - \frac{\tau_p}{\tau_w}\right) \int_0^t \frac{\partial p}{\partial x} \exp\left(-\frac{t-t'}{\tau_w}\right) \frac{dt'}{\tau_w}, \quad (3)$$

$$\rho_0 \frac{\partial w}{\partial x} + \frac{\partial(m\rho)}{\partial t} = 0, \quad (4)$$

$$m\rho - m_0\rho_0 = \rho_0\beta(p - p_0); \quad (5)$$

эта система легко сводится к эквивалентному ей уравнению пьезопроводности вида:

$$\kappa \frac{\tau_p}{\tau_w} \frac{\partial^2 p}{\partial x^2} + \kappa \left(1 - \frac{\tau_p}{\tau_w}\right) \int_0^t \frac{\partial^2 p}{\partial x^2} \exp\left(-\frac{t-t'}{\tau_w}\right) \frac{dt'}{\tau_w} = \frac{\partial p}{\partial t}. \quad (6)$$

Здесь  $p(x, t)$  – давление,  $w(x, t)$  – скорость фильтрации,  $k$  – коэффициент проницаемости,  $\mu$ ,  $\rho$  – вязкость и плотность жидкости,  $m$  – коэффициент пористости,  $\beta = \beta_c + m_0\beta_{ж}$  – коэффициент упругоэластичности пласта,  $\beta_c$ ,  $\beta_{ж}$  – коэффициенты сжимаемости соответственно пористой среды и жидкости,  $\kappa = k/\mu\beta$  – коэффициент пьезопроводности пласта,  $\tau_p$ ,  $\tau_w$  – положительные постоянные размерности времени. Тогда задача об определении давления математически сводится к нахождению в области  $0 < x < \infty$  и для  $t > 0$  решения уравнения (6), удовлетворяющего условиям: начальному (1) и граничным (2). Дополнительно определим также и дебит галереи, он, очевидно, равен

$$Q(t) = -Fw(x, t)|_{x=0} = F \left[ \frac{k\tau_p}{\mu\tau_w} \frac{\partial p}{\partial x} + \frac{k}{\mu} \left(1 - \frac{\tau_p}{\tau_w}\right) \int_0^t \frac{\partial p}{\partial x} \exp\left(-\frac{t-t'}{\tau_w}\right) \frac{dt'}{\tau_w} \right]_{x=0}, \quad (7)$$

где  $F$  – площадь поперечного сечения пласта. Точное решение задачи (6), (1), (2) имеет вид (Молокович, Осипов, 1987):

$$p(x, t) = p_0 - (p_0 - p_{r0}) \left\{ 1 - \frac{1}{\pi} \left[ \int_0^{1/\tau_p} \sin(x \sqrt{\frac{\xi(1-\tau_w\xi)}{\kappa(1-\tau_p\xi)}}) \times \frac{\exp(-\xi t)}{\xi} d\xi + \int_{1/\tau_w}^{\infty} \sin(x \sqrt{\frac{\xi(1-\tau_w\xi)}{\kappa(1-\tau_p\xi)}}) \frac{\exp(-\xi t)}{\xi} d\xi \right] \right\}; \quad (8)$$

здесь для определенности предполагается  $\tau_p > \tau_w$ .

При этом дебит галереи, путем подстановки (8) в (7),

запишется так:

$$Q(t) = F \frac{k(p_0 - p_{r0})}{\mu \sqrt{\pi \kappa}} \left[ \frac{\tau_p}{\tau_w \sqrt{\pi}} \left( \int_0^{1/\tau_p} \frac{1 - \tau_w \xi}{\sqrt{1 - \tau_p \xi}} \frac{\exp(-\xi t)}{\sqrt{\xi}} d\xi + \int_{1/\tau_w}^{\infty} \frac{1 - \tau_w \xi}{\sqrt{1 - \tau_p \xi}} \frac{\exp(-\xi t)}{\sqrt{\xi}} d\xi \right) - \frac{1}{\sqrt{\pi}} \left( \frac{\tau_p}{\tau_w} - 1 \right) \times \right. \tag{9}$$

$$\left. \times \int_0^t \left( \int_0^{1/\tau_p} \frac{1 - \tau_w \xi}{\sqrt{1 - \tau_p \xi}} \frac{\exp(-\xi t')}{\sqrt{\xi}} d\xi + \int_{1/\tau_w}^{\infty} \frac{1 - \tau_w \xi}{\sqrt{1 - \tau_p \xi}} \frac{\exp(-\xi t')}{\sqrt{\xi}} d\xi \right) \exp\left(-\frac{t-t'}{\tau_w}\right) \frac{dt'}{\tau_w} \right]$$

3. Для получения приближенного решения задачи (6), (1), (2) по методу разделения времени по процессам в релаксационном законе фильтрации (3) введем короткое время  $\theta_1$ , характеризующее запаздывание скорости фильтрации по отношению к изменению градиента давления во времени  $t$ , т.е. приближенно представим соотношение (3) следующим образом:

$$w(x, t, \theta_1) = -\frac{k \tau_p}{\mu \tau_w} \frac{\partial p(x, t)}{\partial x} - \frac{k}{\mu} \left(1 - \frac{\tau_p}{\tau_w}\right) \frac{\partial p(x, t)}{\partial x} \times \int_0^{\theta_1} \exp\left(-\frac{\theta_1 - \theta'}{\tau_w}\right) \frac{d\theta'}{\tau_w} = -\frac{k \tau_p}{\mu \tau_w} \frac{\partial p(x, t)}{\partial x} - \frac{k}{\mu} \left(1 - \frac{\tau_p}{\tau_w}\right) \times \tag{10}$$

$$\times \frac{\partial p(x, t)}{\partial x} \exp\left(-\frac{\theta_1}{\tau_w}\right) \left(\exp\left(\frac{\theta_1}{\tau_w}\right) - 1\right) = -\frac{k(\theta_1)}{\mu} \frac{\partial p(x, t)}{\partial x},$$

где

$$k(\theta_1) = k \left[1 - \left(1 - \frac{\tau_p}{\tau_w}\right) \exp\left(-\frac{\theta_1}{\tau_w}\right)\right]. \tag{11}$$

Тогда, исключая из системы (10), (4), (5) все искомые величины, кроме давления, получим уравнение пьезопроводности

$$\kappa(\theta_1) \frac{\partial^2 p}{\partial x^2} = \frac{\partial p}{\partial t}, \tag{12}$$

в котором коэффициент пьезопроводности является функцией короткого времени (параметра)  $\theta_1$ :

$$\kappa(\theta_1) = \kappa \left[1 - \left(1 - \frac{\tau_p}{\tau_w}\right) \exp\left(-\theta_1 / \tau_w\right)\right]. \tag{13}$$

Уравнение пьезопроводности для классического упругого режима фильтрации имеет вид

$$\kappa \frac{\partial^2 p}{\partial x^2} = \frac{\partial p}{\partial t}.$$

Решение этого уравнения при выполнении краевых условий (1) и (2) такое

$$p(x, t) = p_0 - (p_0 - p_{r0}) \operatorname{erfc}\left(\frac{x}{2\sqrt{\kappa t}}\right). \tag{14}$$

Также известен и дебит галереи, он равен

$$Q(t) = F \frac{k(p_0 - p_{r0})}{\mu \sqrt{\pi \kappa}}. \tag{15}$$

Очевидно, уравнение (12) соответствует модели классического упругого режима фильтрации, только в нем пьезопроводность зависит от параметра  $\theta_1$ . Следовательно, для определения приближенного решения задачи (6), (1), (2), а также нахождения соответствующего дебита галереи (7) нужно в ф-лах (14) и (15) заменить  $k$  и  $\kappa$  на  $k(\theta_1)$  и  $\kappa(\theta_1)$ , а затем вернуться к единому времени  $t$ , положив,  $\theta_1 = t$ ; в результате чего получим:

$$p(x, t) = p_0 - (p_0 - p_{r0}) \operatorname{erfc}\left(\frac{x}{2\sqrt{\kappa [1 - (1 - \tau_p / \tau_w) \exp(-t / \tau_w)]}}\right), \tag{16}$$

$$Q(t) = F \frac{k(p_0 - p_{r0})}{\mu \sqrt{\pi \kappa t}} \sqrt{1 - (1 - \tau_p / \tau_w) \exp(-t / \tau_w)}. \tag{17}$$

4. Проведем сравнение точных (8), (9), приближенных (16), (17) и классических решений (14), (15). В расчетах принималось  $\tau_p = 600$  с и  $\tau_w = 400$  с, что соответствует средним значениям величин  $\tau_p$  и  $\tau_w$ , полученным в промышленных условиях (Молокович и др., 1980), коэффициент пьезопроводности брался равным  $\kappa = 10000$  см<sup>2</sup>/с. На рис. 1 изображены графики кривых (14) и (16) для моментов времени  $t = 25$  с (первая пара слева),  $t = 100$  с (вторая пара),  $t = 400$  с (третья),  $t = 1000$  с (четвертая). В каждой паре верхняя кривая соответствует ф-ле (14), нижняя – ф-ле (16). На оси абсцисс откладывались значения  $x$ , на оси ординат – значения  $\bar{p} = (p(x, t) - p_{r0}) / (p_0 - p_{r0})$ . Подсчитывались также значения  $\bar{p}$  по точной ф-ле (8) для тех же значений  $t$  и  $x = 100$  см, 200 см, ..., 5000 см. Полученные точки практически легли на нижние кривые, соответствующие приближенной ф-ле (16). На рис. 2 приведены графики кривых (15) (нижняя) и (17) (верхняя). На оси абсцисс откладывались значения  $t$ , на оси ординат – значения  $\bar{Q} = \mu \sqrt{\pi \kappa} Q(t) / F k (p_0 - p_{r0})$ . Подсчитывались также значения  $\bar{Q}$  по точной ф-ле (9) для значений  $t = 25$  с, 50 с, ..., 1000 с. Полученные точки практически легли на верхнюю кривую, соответствующую приближенной ф-ле (17). Таким образом, сравнение решений, полученных с помощью метода разделения времени по процессам, с соответствующими точными решениями показывает достаточно высокую точность приближенных решений. В то же время из приведенных графиков видно, что точные и приближенные решения, соответствующие модели фильтрации с релаксационным законом (3), существенно отличаются от решений, соответствующих модели классического упругого режима фильтрации.

5. Рассмотрим задачу, поставленную в п. 2, где неравновесный закон фильтрации (3) заменим законом Дарси

$$w = -\frac{k}{\mu} \frac{\partial p}{\partial x}, \tag{18}$$

а уравнение состояния (5) для упругого пласта – уравнением состояния для релаксационно-сжимаемого пласта

$$m\rho - m_0\rho_0 = \rho_0 \beta \left[ \frac{\theta_p}{\theta_m} (p - p_0) + \left(1 - \frac{\theta_p}{\theta_m}\right) \int_0^t (p - p_0) \exp\left(-\frac{t-t'}{\theta_m}\right) \frac{dt'}{\theta_m} \right],$$

где  $\theta_p$  и  $\theta_m$  – положительные постоянные размерности времени. Подставив (18) и (19) в уравнение неразрывности (4), получим уравнение пьезопроводности вида

$$\kappa \frac{\theta_m}{\theta_p} \frac{\partial^2 p}{\partial x^2} + \kappa \left(1 - \frac{\theta_m}{\theta_p}\right) \int_0^t \frac{\partial^2 p}{\partial x^2} \exp\left(-\frac{t-t'}{\theta_p}\right) \frac{dt'}{\theta_p} = \frac{\partial p}{\partial t}. \tag{20}$$

Это уравнение совпадает с уравнением (6), только вместо постоянных  $\tau_p$  и  $\tau_w$  стоят соответственно  $\theta_p$  и  $\theta_m$ , поэтому задача (20), (1), (2) будет иметь решение

$$p(x, t) = p_0 - (p_0 - p_{r0}) \left\{ 1 - \frac{1}{\pi} \left[ \int_0^{1/\theta_m} \sin\left(x \sqrt{\frac{\xi(1-\theta_p \xi)}{\kappa(1-\theta_m \xi)}}\right) \times \frac{\exp(-\xi t)}{\xi} d\xi + \int_{1/\theta_p}^{\infty} \sin\left(x \sqrt{\frac{\xi(1-\theta_p \xi)}{\kappa(1-\theta_m \xi)}}\right) \frac{\exp(-\xi t)}{\xi} d\xi \right] \right\}, \tag{21}$$

где предполагается  $\theta_m > \theta_p$ . При этом дебит галереи:

$$Q(t) = -Fw(x,t)|_{x=0} = F \frac{k}{\mu} \frac{\partial p}{\partial x} \Big|_{x=0} = F \frac{k(p_0 - p_{Г0})}{\mu \sqrt{\pi \kappa}} \frac{1}{\sqrt{\pi}} \times$$

$$\times \left( \int_0^{1/\theta_m} \frac{\sqrt{1 - \theta_p \xi} \exp(-\xi t)}{\sqrt{1 - \theta_m \xi}} d\xi + \int_{1/\theta_p}^{\infty} \frac{\sqrt{1 - \theta_p \xi} \exp(-\xi t)}{\sqrt{1 - \theta_m \xi}} d\xi \right). \quad (22)$$

6. Для получения приближенного решения задачи (20), (1), (2) по методу разделения времени по процессам в уравнении состояния (19) введем короткое время  $\theta_2$ , характеризующее запаздывание количества жидкости в элементарном объеме от изменения давления в нем во времени  $t$ , то есть приближенно представим соотношение (19) следующим образом

$$m\rho - m_0\rho_0 = \rho_0\beta \left[ \frac{\theta_p}{\theta_m} (p - p_0) + \left(1 - \frac{\theta_p}{\theta_m}\right) (p - p_0) \times \right.$$

$$\times \int_0^{\theta_2} \exp\left(-\frac{\theta_2 - t'}{\theta_m}\right) \frac{dt'}{\theta_m} \Big] = \rho_0\beta \left[ \frac{\theta_p}{\theta_m} (p - p_0) + \left(1 - \frac{\theta_p}{\theta_m}\right) \times \right.$$

$$\times (p - p_0) \exp(-\theta_2/\theta_m) (\exp(\theta_2/\theta_m) - 1) \Big] = \rho_0\beta(\theta_2)(p - p_0),$$

где

$$\beta(\theta_2) = \beta \left[ 1 - \left(1 - \frac{\theta_p}{\theta_m}\right) \exp(-\theta_2/\theta_m) \right]. \quad (24)$$

Тогда, исключая из системы (18), (4), (23) все искомые величины, кроме давления, получим уравнение пьезопроводности

$$\kappa(\theta_2) \frac{\partial^2 p}{\partial x^2} = \frac{\partial p}{\partial t}, \quad (25)$$

в котором коэффициент пьезопроводности является функцией короткого времени (параметра)  $\theta_2$

$$\kappa(\theta_2) = \frac{\kappa}{1 - \left(1 - \frac{\theta_p}{\theta_m}\right) \exp(-\theta_2/\theta_m)}. \quad (26)$$

Решение задачи (25), (1), (2) записывается формулой

$$p(x,t) = p_0 - (p_0 - p_{Г0}) \operatorname{erfc}\left(\frac{x}{2\sqrt{\kappa(\theta_2)t}}\right), \quad (27)$$

а дебит галереи равен

$$Q(t) = F \frac{k(p_0 - p_{Г0})}{\mu \sqrt{\pi \kappa(\theta_2)t}}. \quad (28)$$

Для нахождения приближенного решения задачи (20), (1), (2), а также нахождения соответствующего дебита галереи, нужно в формулах (27) и (28) вернуться к единому времени  $t$ , положив  $\theta_2 = t$  в результате чего получим

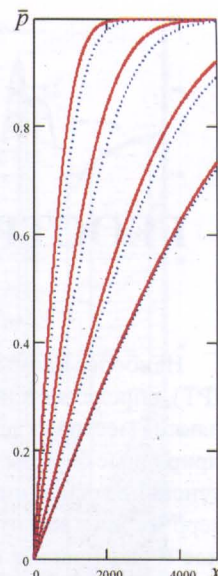
$$p(x,t) = p_0 - (p_0 - p_{Г0}) \times$$

$$\times \operatorname{erfc}\left(\frac{x \sqrt{1 - \left(1 - \frac{\theta_p}{\theta_m}\right) \exp(-t/\theta_m)}}{2\sqrt{\kappa t}}\right). \quad (29)$$

$$Q(t) = F \frac{k(p_0 - p_{Г0}) \sqrt{1 - \left(1 - \frac{\theta_p}{\theta_m}\right) \exp(-t/\theta_m)}}{\mu \sqrt{\pi \kappa t}}. \quad (30)$$

7. Проведем сравнение точных (21), (22), приближенных (29), (30) и классических решений (14), (15) аналогично тому, как это делалось в п. 4. В расчетах принималось  $\theta_m = 600$  с,  $\theta_p = 400$  с,  $\kappa = 10000$  см<sup>2</sup>/с. В результате графики кривых (14) и (29) совпали с кривыми (14) и (16), изображенными на рис.1. Точные значения  $\bar{p}$  также совпали с соответствующими приближенными значениями. Точные решения задач п. 2 и п. 5 совпали потому, что при  $\tau_p = \theta_m$  и  $\tau_w = \theta_p$

Рис. 1. Кривые изменения давления  $\bar{p}$  в зависимости от расстояния  $x$  для  $t = 25$ с, 100с, 400с, 1000с по (14) и (16).



решаются одинаковые дифференциальные уравнения при одних и тех же краевых условиях. На рис. 3 приведены графики кривых (15) (верхняя) и (30) (нижняя). На оси абсцисс откладывались значения  $t$ , на оси ординат – значения  $\bar{Q} = \mu \sqrt{\pi \kappa} Q(t) / Fk (p_0 - p_{Г0})$ . Подсчитывались также значения  $\bar{Q}$  по точной формуле (22) для значений  $t = 25$  с, 50 с, ..., 1000 с. Полученные точки практически легли на нижнюю кривую, соответствующую приближенной формуле (30). Таким образом, сравнение приближенных решений с соответствующими точными решениями и в этой задаче показывает достаточно высокую точность метода разделения времени по процессам.

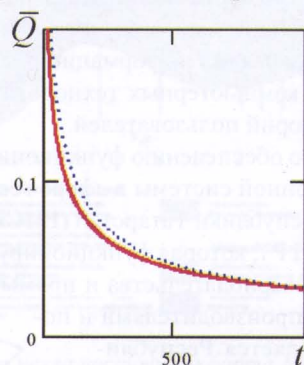


Рис. 2. Графики кривых изменения дебита  $\bar{Q}$  в зависимости от времени  $t$  по формулам (15) и (17).

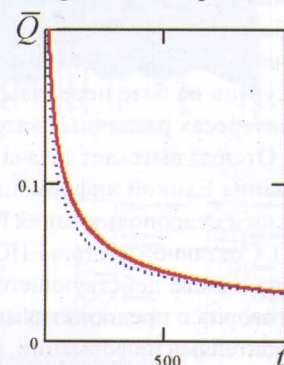


Рис. 3. Графики кривых изменения дебита  $\bar{Q}$  в зависимости от времени  $t$  по формулам (15) и (30).

### Литература

Молокович Ю.М., Непримеров Н.Н., Пикуза В.И., Штанин А.В. *Релаксационная фильтрация*. Казань. Изд-во Казанского ун-та, 1980. 136.  
 Молокович Ю.М., Осипов П.П. *Основы теории релаксационной фильтрации*. Казань. Изд-во Казанского ун-та, 1987. 116.  
 Молокович Ю.М., Шкуро А.С. *Разделение времени в задачах неравновесной фильтрации*. Труды матем. центра им. Н.И. Лобачевского. Краевые задачи и их приложения. Т.3. Казань. 1999. 339-342.



**Юрий Матвеевич Молокович**  
 д. ф.-м.н., почётный член РАЕН, профессор кафедры аэрогидромеханики КГУ. Область научных интересов: теория неравновесной фильтрации в пористых средах сложного строения и приложения её к разработке нефтяных месторождений.

**Александр Сергеевич Шкуро**  
 к. ф.-м.н., доцент кафедры общей математики КГУ. Область научных интересов: фильтрация жидкостей в пористых средах, определение фильтрационных параметров.

